

УДК 621.3.064 : 662.215 : 533.9

ЭЛЕКТРОФИЗИЧЕСКИЕ СВОЙСТВА ДЕТОНАЦИОННОЙ ПЛАЗМЫ И БЫСТРОДЕЙСТВУЮЩИЕ ВЗРЫВНЫЕ РАЗМЫКАТЕЛИ ТОКА

А. П. Ершов, П. И. Зубков, Л. А. Лукьянчиков

(Новосибирск)

За фронтом детонации (ФД) конденсированных взрывчатых веществ (ВВ) образуется плазма с электропроводностью $\sim 1 \text{ Ом}^{-1} \cdot \text{см}^{-1}$ [1]. Продвигающая область делится на две части [2, 3]: неравновесную (зону химической реакции шириной $\sim 1 \text{ мм}$) и равновесную. Равновесная электропроводность может быть порядка неравновесной или гораздо ниже и быстро падает в волнах расширения.

Движение проводящей зоны за ФД со скоростью 5—8 км/с можно использовать для размыкания сильноточных цепей за времена $\leq 1 \text{ мкс}$. Такие размыкатели могут найти применение в мощных источниках энергии. Быстродействие существующих способов взрывного размыкания ($\sim 10 \text{ мкс}$ [1]) ограничено возникновением дуг при разрыве цепи.

В предлагаемом способе проводящая зона движется за ФД между двумя электродами. Ток течет по плазме и прекращается, когда ВВ между электродами прореагирует и электропроводность упадет. Значительная электрическая прочность продуктов детонации [5] препятствует пробою промежутка и образованию дуги. Поэтому время размыкания определяется спадом электропроводности за ФД, при минимальной проводящей зоне (зона реакции) составляет $\sim 0,1 \text{ мкс}$. Для применения нового способа размыкания необходимы вольт-амперные характеристики плазмы при больших плотностях тока. Эти данные могут быть полезны и для выяснения механизма проводимости плазмы.

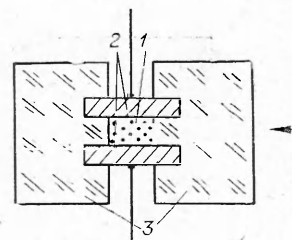
Эксперименты. Источником напряжения была конденсаторная батарея (25 мкФ, 30 кВ). Средняя точка батареи заземлялась, и обе половины заряжались до напряжений противоположной полярности. Такая схема позволила снизить требования к вводам напряжения во взрывную камеру.

Сечение заряда показано на фиг. 1. Взрывчатое вещество 1 ($3 \times 5 \text{ мм}$, длина 12—15 см) находилось между медными электродами 2 длиной 10 см. Напряжение на заряде и ток осциллографировались с компенсацией индуктивных наводок [6, 7]. Через стенку 3 из оргстекла велась фоторегистрация на СФР.

Заряд подключался к батарее разрядниками после контакта электродов с проводящей зоной за ФД. Электроды защищались от пробоя впереди ФД 2—4 слоями лавсановой пленки толщиной 25 мкм. За ФД под действием высокого давления сопротивление пленки становилось малым по сравнению с сопротивлением R плазмы.

После подключения батареи ток и напряжение на заряде нарастали за время $\sim L/R$ ($L = 4 \text{ мкГ} —$ индуктивность цепи). На этом участке определялась вольт-амперная характеристика. При определенном напряжении между электродами происходил пробой. Затем с некоторой задержкой взрывался

2*



Фиг. 1

проводник, включенный последовательно с зарядом. Это использовалось для привязки фоторазвертки и осциллографа с точностью не хуже 1 мкс (пробой не всегда виден на фоторазвертке).

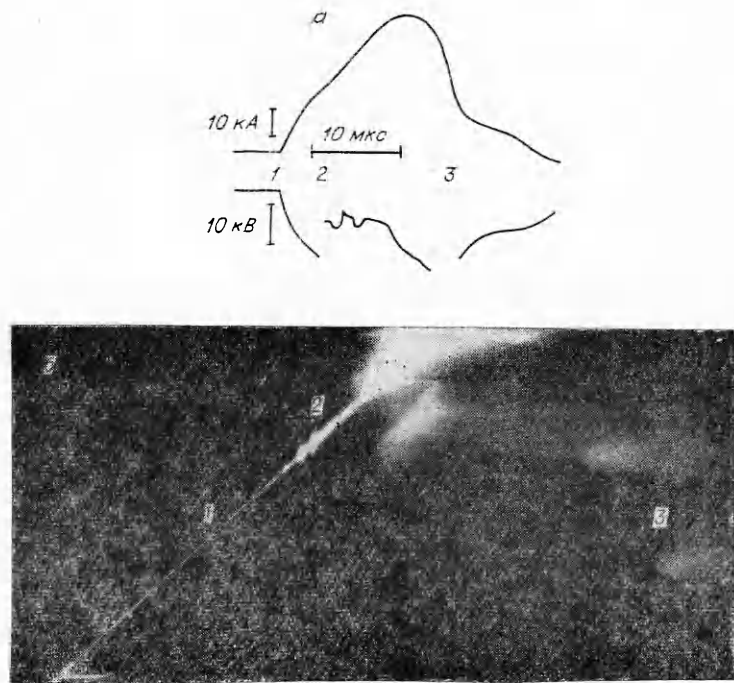
Исследовались порошковый гексоген, имеющий электропроводность около $0,2 \text{ Ом}^{-1} \cdot \text{см}^{-1}$ в зоне $\approx 1 \text{ мм}$, и два пластических ВВ — ЭВВ 8Г

Т а б л и ц а 1

ВВ	ЭВВ 8Г	Семтекс	Гексоген
$R, \text{ Ом}$ (при $U, \text{ кВ}$)	1,1 (0,01) 1,0 (5—12)	3,3 (0,01—5) 2,0 (27)	20 (0,05) 20 (10)
$E, \text{ кВ} \cdot \text{см}^{-1}$	40	90	>70

и семтекс Л (производство ЧССР). Ширина проводящей зоны у пластиков в условиях эксперимента была $\approx 3 \text{ мм}$, электропроводность — 1,2 и $0,71 \text{ Ом}^{-1} \cdot \text{см}^{-1}$ соответственно. Результаты измерений приведены в табл. 1 (в скобках указано напряжение, соответствующее измеренному сопротивлению).

У пластических ВВ вольт-амперная характеристика проводящей зоны близка к прямой. Электрическая прочность плазмы E у этих ВВ определялась по напряжению пробоя, происходившего в проводящей зоне. При этом дуга движется вместе с ФД, незначительно усиливая его свечение. На фиг. 2 приведены осциллографма (а) и фоторазвертка (б) опыта с ЭВВ 8Г. На этой и последующих фигурах цифрой 1 обозначен момент



Ф и г. 2

подачи напряжения, 2 — пробой, 3 — взрыв проводника; метки на фоторазвертке — через 1 см.

Пробой мог произойти при меньших напряжениях между концами электродов, если в этом месте продукты детонации успевали расширяться и электрическая прочность падала [5] до значений $< 10 \text{ кВ} \cdot \text{см}^{-1}$. Например, у семтекса такой пробой наступал при напряжении от 14 до 25 кВ в момент, когда детонационная волна проходила 7—8 см вдоль электродов. Пробой в проводящей зоне происходил, если до этого момента напряжение возрастало до 27 кВ. Фоторазвертка опыта с семтексом приведена на фиг. 3.

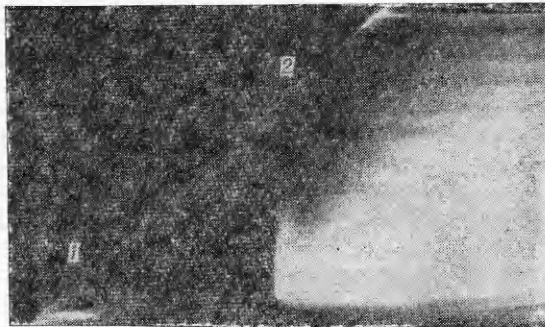
У гексогена время L/R было малым, измерения велись при постоянном напряжении. Сопротивление не зависело от напряжения в интервале 50 В — 10 кВ. При напряжении, большем 10 кВ, в момент подключения заряда ионизуется воздух в порах в нескольких миллиметрах впереди ФД (фиг. 4). Это связано с искажениями поля впереди ФД. Так как позади ФД лавсановая пленка проводит, электрическое поле близко к однородному; впереди фронта в порошке гексогена возникает поле той же величины. Это при $U > 10 \text{ кВ}$ ($E > 30 \text{ кВ} \cdot \text{см}^{-1}$) приводит к пробою порошка.

Вдали от ФД искажения поля малы, и детонационная волна ведет перед собой ограниченную ионизованную область. Ток растет линейно со временем с момента подачи напряжения (фиг. 4, а). Это значит, что ионизация впереди ФД приводит к появлению равновесной проводимости продуктов детонации, не спадающей при расширении. Поэтому проводящая зона с момента подачи напряжения расширяется со скоростью детонации, а сопротивление заряда падает $\sim t^{-1}$. Напряжение на заряде меньше, чем на батарее, на величину LdI/dt , т. е. почти постоянно. Ток, протекающий впереди ФД по порошку, мал по сравнению с током через проводящую область за ФД: линия тока должна дважды пересекать ФД из-за изоляции впереди фронта. Энерговыделение впереди волны не превышает долей процента от детонационного. С некоторой задержкой позади ФД происходит пробой с почти неподвижной дугой. К этому моменту проводящая зона расширяется в 5—50 раз. В табл. 2 в зависимости от напряжения на батарее U_0 приведены напряжение на заряде, время задержки пробоя, сопротивление к моменту пробоя и средняя электропроводность в растянутой проводящей зоне. Эта электропроводность того же порядка величины, что и собственная у гексогена.

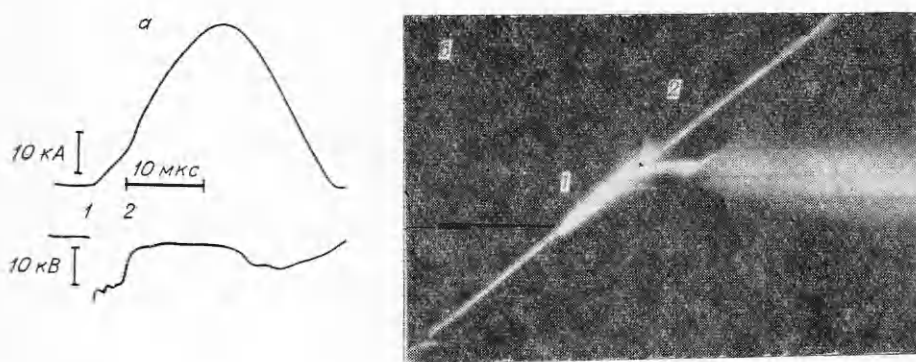
Напряжение 21 кВ держится 1 мкс. Можно думать, что опережающая ионизация уменьшает электрическую прочность; при подаче напряжения после того, как ВВ вступит в реакцию, электрическая прочность должна быть не ниже $70 \text{ кВ} \cdot \text{см}^{-1}$ (см. табл. 1).

Полученные значения E вблизи ФД того же порядка, что измеренные в [5] при расширении продуктов детонации.

Разгон детонационной волны. Джоулево тепловыделение у семтекса достигало 40% детонационного, у ЭВВ 8Г — 15%. Это существенно не влияло на детонационный процесс. У семтекса наблюдалось увеличение скорости волны D на 3—4% при максимальном разогреве (см. фиг. 3).



Фиг. 3



Фиг. 4

Малая величина разгона связана с распределением внутренней энергии на упругую и тепловую части, меняющимся при нагреве. По увеличению скорости волны можно оценить коэффициент Грюнайзена продуктов детонации (для семтекса $\Gamma \approx 0,4$). При этом тепловая составляющая давления $\approx 6\%$, а тепловая часть энергии около 25% полной (без разогрева). Выделение джоулева тепла (по оценке) повышает температуру вдвое; за ФД возникает светящаяся зона шириной ≈ 6 мм.

Повышенная ($13 \text{ км} \cdot \text{s}^{-1}$) скорость детонации наблюдалась в [8] при инициировании порошка гексогена взрывом фольги. Это явление связано не с джоулевым разогревом продуктов (эффект мал), а, по-видимому, с опережающим волну разрядом по порошку, который при достаточной мощности мог инициировать ВВ. На фиг. 4, б в момент подачи напряжения фронт свечения опережает ФД со скоростью также $\approx 13 \text{ км} \cdot \text{s}^{-1}$. В данном случае инициирования не происходило (слабый источник), и детонация проходит через светящуюся область, «не замечая» ее.

Механизмы проводимости. Двукратный рост температуры, как видно из табл. 1, слабо влияет на электропроводность пластиков. Величину и слабую температурную зависимость равновесной электропроводности

Таблица 2

	15	20	25	30
U_0, kV				
U, kV	13	13	18	21
$t, \mu\text{s}$	7,5	4	2	1
R, Ω	2,4	1,7	4,5	3,5
$\sigma, \Omega^{-1} \cdot \text{cm}^{-1}$	0,07	0,2	0,15	0,4

можно было бы объяснить полной ионизацией малой примеси, например NO. Но тогда потенциал ионизации должен уменьшиться на 8—9 эВ. Оценки, подобные изложенным в [9], дают 2—4 эВ. Поэтому электронно-ионный состав заряженной компоненты плазмы маловероятен. Равновесная проводимость либо ионная [10], либо связана с конденсацией свободного углерода [3].

Малые энергетические воздействия сильно влияют на проводимость гексогена, что говорит в пользу электронно-ионной проводимости. Однако следует подчеркнуть, что причина появления равновесной проводимости при движении волны по ионизованному веществу неясна. Расширение продуктов не приводит к быстрому спаду проводимости, что отличает

этот эффект от известных [11] (проводящая зона на порядок больше по-перечнику заряда при слабой оболочке).

Размыкатели. В модельных экспериментах заряд семтекса толщиной 3 мм, диаметром 55 мм находился между электродами диаметром 40 мм и инициировался в центре. На электроды подавалось напряжение до 15 кВ с конденсаторной батареи 75 мкФ, индуктивность цепи ≈ 2 мкГ. После выхода детонации из межэлектродного пространства начинался разлет продуктов и падение проводимости. Ток 15 кА выключался за 2 мкс, максимальное напряжение 30 кВ, вес заряда около 10 г. Перфорирование заряда ускоряет размыкание. В аналогичной постановке [12] ток 10 кА выключен за 0,75 мкс зарядом гексогена весом 100 г.

Результаты данной работы позволяют оценить возможности размыкания с использованием движения проводящей зоны за ФД. При ширине проводящей зоны $\Delta \sim 1$ мм (зона реакции) минимальное время размыкания $\sim 0,1$ мкс. Минимальное количество ВВ (для цилиндрического слоя толщины Δ) $m \sim \rho U/E \cdot I/\sigma E$, где UI — переключаемая мощность; σ и E — электропроводность и электрическая прочность плазмы. Для семтекса при $UI \sim 10^{12}$ Вт $m \sim 300$ г. Начальное сопротивление размыкателя при этом $r \sim U/I$. Уменьшить r и напряжение до размыкания можно, увеличивая радиус и вес заряда ($m \sim r^{-1}$). Такой размыкатель полезен как обостритель, облегчающий до спада проводимости работу взрывного размыкателя с разрывом цепи (гашение дуг при низком напряжении).

Поступила 16 XI 1976

ЛИТЕРАТУРА

1. Бриш А. А., Тарасов М. С., Щукерман В. А. Электропроводность продуктов взрыва конденсированных взрывчатых веществ. — ЖЭТФ, 1959, т. 37, вып. 6.
2. Ершов А. П., Зубков П. И., Лукьянчиков Л. А. Об измерениях профиля электропроводности во фронте детонации конденсированных ВВ. — ФГВ, 1974, т. 10, № 6.
3. Ершов А. П. Ионизация при детонации конденсированных ВВ. — ФГВ, 1975, т. 11, № 6.
4. Кюнфель Г. Сверхсильные импульсные магнитные поля. М., «Мир.», 1972.
5. Зубков П. И., Лукьянчиков Л. А., Рябинин Ю. В. Электрическая прочность разлетающихся продуктов детонации. — ПМТФ, 1976, № 1.
6. Зубков П. И., Лукьянчиков Л. А. Электрический разряд в порошковом тэне. — ПМТФ, 1970, № 4.
7. Лукьянчиков Л. А., Киселев Г. И. Компенсационный способ измерения импульсного тока и напряжения. — «Приборы и техника эксперимента», 1974, № 4.
8. Бабуль В., Корзун М. Электрический метод поверхностного возбуждения бризантных ВВ. — ФГВ, 1975, т. 11, № 1.
9. Зельдович Я. Б., Райзер Ю. П. Физика ударных волн и высокотемпературных гидродинамических явлений. М., Физматгиз, 1963.
10. Дремин А. Н., Якушев В. В. Природа электропроводности продуктов детонации конденсированных взрывчатых веществ. — «Докл. АН СССР», 1975, т. 221, № 5.
11. Аптищенко А. Г., Дремин А. Н., Якушев В. В. О зоне электропроводности при детонации конденсированных взрывчатых веществ. — «Докл. АН СССР», 1975, т. 225, № 5.
12. Ершов А. П., Зубков П. И., Лукьянчиков Л. А. Использование зоны электропроводности в детонационной волне конденсированных ВВ и электрической прочности продуктов детонации для формирования заданных сильноточных импульсов и выключения больших токов. — В кн.: Динамика сплошной среды. Вып. 16. Новосибирск, изд. Ин-та гидродинамики, 1974.